

УДК 62-503.5

## ДИНАМИКА УПРАВЛЯЕМОГО ДВИЖЕНИЯ ТРЕХМАССОВОГО РОБОТА ПО ПЛОСКОЙ ПОВЕРХНОСТИ

© 2011 С.Ф. Яцун, В.Н. Шевякин, Л.Ю. Волкова, В.В. Серебровский

Юго-Западный государственный университет, г. Курск

Поступила в редакцию 10.11.2011

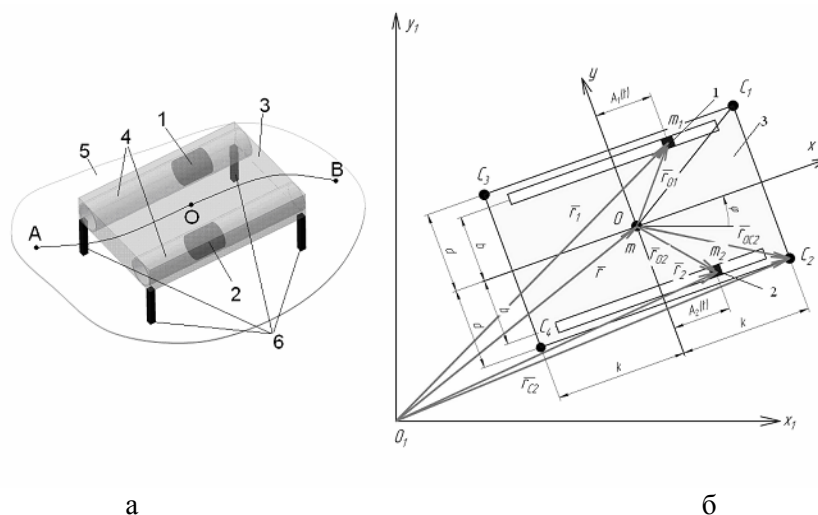
Представлена математическая модель мобильного робота, перемещающегося по криволинейной траектории по горизонтальной поверхности за счет движения двух внутренних масс и внешней силы вязкого сопротивления. Приведены результаты моделирования движения объекта.

Ключевые слова: *мобильный трехмассовый робот, внутренняя масса, сила вязкого сопротивления, ориентация опорных элементов*

Одним из перспективных направлений робототехники являются мобильные роботы, движущиеся за счет периодических колебаний внутренних масс. Работы [1-3] посвящены изучению прямолинейного движения двух- и трехмассовых систем в среде с сопротивлением. Вопросы моделирования криволинейного движения вибрационных роботов по горизонтальной поверхности изучены в [4, 5]. В статье представлены результаты исследования прямолинейного и криволинейного движений робота, перемещающегося за счет периодических колебаний двух внутренних масс. Особое

внимание уделено вопросу моделирования взаимодействия корпуса робота с опорной поверхностью.

**Описание робота и его математическая модель.** Конструкция рассматриваемого робота состоит из 3 основных частей: двух подвижных внутренних масс 1 и 2 и корпуса 3 (рис. 1). Внутренние массы перемещаются относительно корпуса по направляющим 4. Положим, что корпус контактирует с поверхностью 5 при помощи четырех опорных элементов 6 и движется по ней за счет сил трения.



**Рис. 1.** а – общий вид робота, б – кинематическая схема устройства:

1, 2 – внутренние массы, 3 – корпус, 4 – направляющие, 5 – поверхность, 6 – опорные элементы, АВ – криволинейная траектория

Яцун Сергей Федорович, доктор технических наук, профессор, заведующий кафедрой теоретической механики и мехатроники. E-mail: teormeh@inbox.ru

Шевякин Виталий Николаевич, доктор технических наук, профессор кафедры теоретической механики и мехатроники

Волкова Людмила Юрьевна, аспирантка

Серебровский Вадим Владимирович, доктор технических наук, профессор кафедры биомедицинской инженерии

Введем две системы координат: абсолютную неподвижную систему координат  $O_1x_1y_1$  и относительную систему координат  $Oxy$ , которая жестко связана с корпусом робота так, что начало координат  $O$  совпадает с центром масс корпуса, ось  $Ox$  параллельна траекториям движения внутренних масс. Угол  $\varphi$  определяет поворот системы координат  $Oxy$  относительно  $O_1x_1y_1$ . Будем считать, что корпус робота является абсолютно твердым телом, центр инерции которого расположен в точке  $O$  (рис. 1). Внутренние массы 1 и 2 являются точечными и движутся по прямолинейным траекториям, лежащим в плоскости  $Oxy$ , параллельны оси  $Ox$  и равноудалены относительно центра масс корпуса робота на расстояние  $b$ . Законы движения внутренних масс  $A_j(t)$ ,  $j=1,2$  являются периодическими функциями вида

$$A_j(t) = a_j \sin(\omega_j t + \alpha_j), \quad (1)$$

где  $a_j$  – амплитуда,  $\omega_j$  – круговая частота,  $\alpha_j$  – начальная фаза перемещения внутренней массы.

Робот контактирует с поверхностью в точках  $C_i$ ,  $i=1, 2, 3, 4$ , в которых возникают силы сопротивления, при помощи 4 опорных элементов, каждый из которых является абсолютно твердым телом. Опоры могут располагаться под разными углами в вертикальной плоскости относительно оси  $Ox$ , что позволяет управлять величиной сил сопротивления. Высота опорного элемента мала, поэтому учитывать ее при определении координат контактных точек  $C_i$  не будем. Модели сил сопротивления вдоль осей системы координат, связанной с корпусом устройства, определяются углами наклона опор к осям  $Ox$  и  $Oy$ , а численные значения коэффициентов вязкости вдоль этих осей – углами наклона опор к осям  $Ox$  и  $Oy$  и свойствами смазывающего вещества. Относительно положительного направления оси  $Ox$   $i$ -ый опорный элемент может быть ориентирован под тремя углами  $\gamma_i$ , каждому из которых соответствует своя сила вязкости

$$Q_{C_i}^{x0} = -\mu_{x0}^{sr} \dot{x}_{C_i}^{(0)} \text{ при } \gamma_i=90^\circ, \quad (2)$$

$$Q_{C_i}^{x0} = \begin{cases} 0, \dot{x}_{C_i}^{(0)} = 0, \\ -\mu_{x0}^{\min} \dot{x}_{C_i}^{(0)}, \dot{x}_{C_i}^{(0)} > 0, \\ -\mu_{x0}^{\max} \dot{x}_{C_i}^{(0)}, \dot{x}_{C_i}^{(0)} < 0 \end{cases} \text{ при } \gamma_i=45^\circ, \quad (3)$$

$$Q_{C_i}^{x0} = \begin{cases} 0, \dot{x}_{C_i}^{(0)} = 0, \\ -\mu_{x0}^{\max} \dot{x}_{C_i}^{(0)}, \dot{x}_{C_i}^{(0)} > 0, \\ -\mu_{x0}^{\min} \dot{x}_{C_i}^{(0)}, \dot{x}_{C_i}^{(0)} < 0 \end{cases} \text{ при } \gamma_i=135^\circ, \quad (4)$$

где  $\dot{x}_{C_i}^{(0)}$  – проекция скорости  $i$ -ой опоры на ось  $Ox$ ,  $\mu_{x0}^{sr}$ ,  $\mu_{x0}^{\min}$ ,  $\mu_{x0}^{\max}$  – средний, минимальный и максимальный коэффициенты вязкости вдоль оси  $Ox$ .

Угол наклона опор относительно оси  $Oy$  равен  $90^\circ$ , поэтому вдоль нее возникает симметричная сила вязкого сопротивления

$$Q_{C_i}^{y0} = -\mu_{y0} \dot{y}_{C_i}^{(0)}, \quad (5)$$

где  $\mu_{y0}$  – коэффициент вязкости вдоль оси  $Oy$ ,  $\dot{y}_{C_i}^{(0)}$  – проекция скорости  $i$ -ой опоры на ось  $Oy$ .

Зависимость коэффициентов вязкости от свойств смазывающего вещества проявляется в изменении численных значений параметров  $\mu_{x0}^{sr}$ ,  $\mu_{x0}^{\min}$ ,  $\mu_{x0}^{\max}$ ,  $\mu_{y0}$  при использовании различных веществ по следующей формуле:

$$\mu_{x0_i} = \mu_{y0} (1 + p_i \chi), \quad (6)$$

где  $0 \leq \chi \leq 1$  – коэффициент, зависящий от свойств смазывающего вещества, а

$$p_i = \left( \frac{1}{45} \gamma_i - 2 \right) \text{sgn}(\dot{x}_{C_i}^{(0)}) \quad (7)$$

параметр, являющийся функцией угла наклона опоры к положительному направлению оси  $Ox$  (рис. 2).

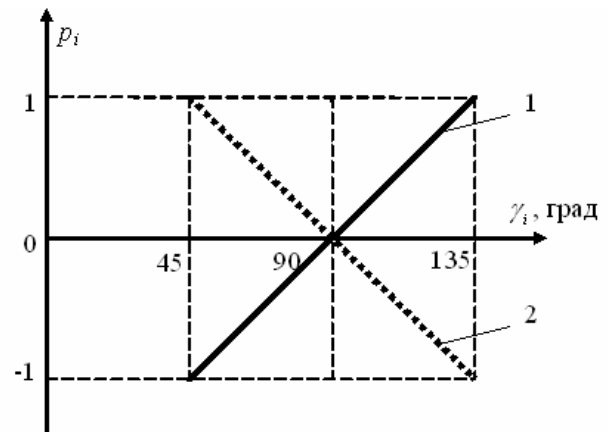
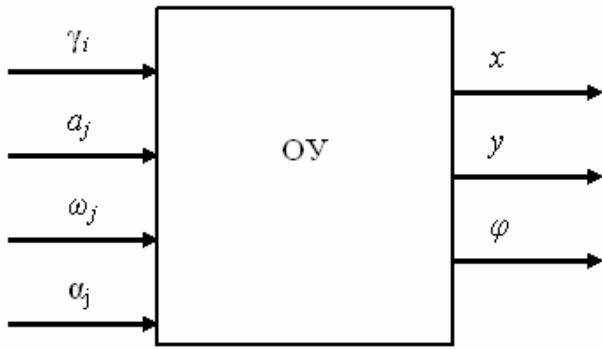


Рис. 2. График зависимости  $p_i(\gamma_i)$ :  $1 - \dot{x}_{C_i}^{(0)} > 0$ ,  $2 - \dot{x}_{C_i}^{(0)} < 0$

Структурная схема системы управления роботом изображена на рис. 3.



**Рис. 3.** Структурная схема системы управления роботом

В качестве управляющих воздействий выступают:  $\gamma_i$  – угол наклона  $i$ -ого опорного элемента в вертикальной плоскости относительно продольной оси корпуса,  $a_j, \omega_j, \alpha_j$  – амплитуда, круговая частота и начальная фаза движения  $j$ -ой внутренней массы. Управляемыми параметрами являются координаты  $x$  и  $y$  центра масс корпуса устройства и угол  $\varphi$  поворота корпуса робота относительно его центра масс. Дифференциальные уравнения движения объекта имеют вид:

$$\begin{cases} m\ddot{x} + \sum_{j=1}^2 m_j [\ddot{x} - 2\dot{\varphi}\dot{A}_j \sin \varphi - \ddot{\varphi}(A_j \sin \varphi + B_j \cos \varphi) - \\ - \dot{\varphi}^2 (A_j \cos \varphi - B_j \sin \varphi) + \ddot{A}_j \cos \varphi] = Q_{x1}, \\ m\ddot{y} + \sum_{j=1}^2 m_j [\ddot{y} + 2\dot{\varphi}\dot{A}_j \cos \varphi - \ddot{\varphi}(-A_j \cos \varphi + B_j \sin \varphi) - \\ - \dot{\varphi}^2 (A_j \sin \varphi + B_j \cos \varphi) + \ddot{A}_j \sin \varphi] = Q_{y1}, \\ J\ddot{\varphi} + \sum_{j=1}^2 m_j [-\sin \varphi (\ddot{x}A_j + \ddot{y}B_j) - \cos \varphi (\ddot{x}B_j - \ddot{y}A_j) + \\ + 2\dot{\varphi}A_j\dot{A}_j + \dot{\varphi}(A_j^2 + B_j^2) - \ddot{A}_j B_j] = M_o. \end{cases} \quad (8)$$

где  $B_j = (-1)^{j+1} b$  – координата  $j$ -ой массы в проекции на ось  $Oy$ ,

$$Q_{x1} = \sum_{i=1}^4 (-\mu_{x0i} \cos \varphi (\dot{x} \cos \varphi + \dot{y} \sin \varphi - \dot{\varphi}d_i) - \mu_{y0} \sin \varphi (\dot{x} \sin \varphi - \dot{y} \cos \varphi - \dot{\varphi}k_i)), \quad (9)$$

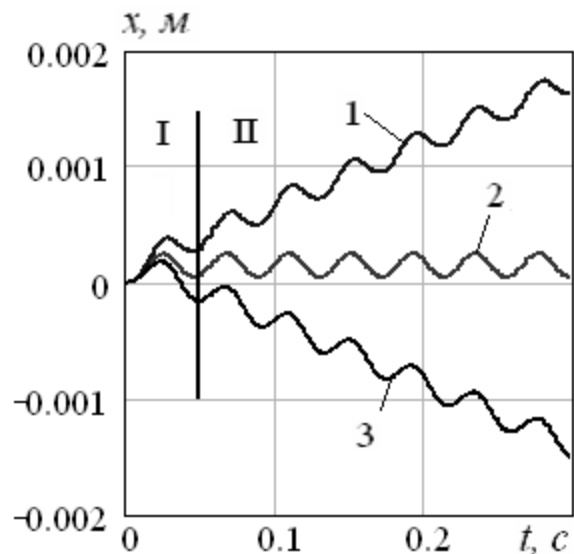
$$Q_{y1} = \sum_{i=1}^4 (-\mu_{x0i} \sin \varphi (\dot{x} \cos \varphi + \dot{y} \sin \varphi - \dot{\varphi}d_i) + \mu_{y0} \cos \varphi (\dot{x} \sin \varphi - \dot{y} \cos \varphi - \dot{\varphi}k_i)). \quad (10)$$

- проекции главного вектора сил сопротивления на оси  $O_1x_1$  и  $O_1y_1$ ,
- главный момент сил сопротивления,
- момент инерции корпуса  $J$ .

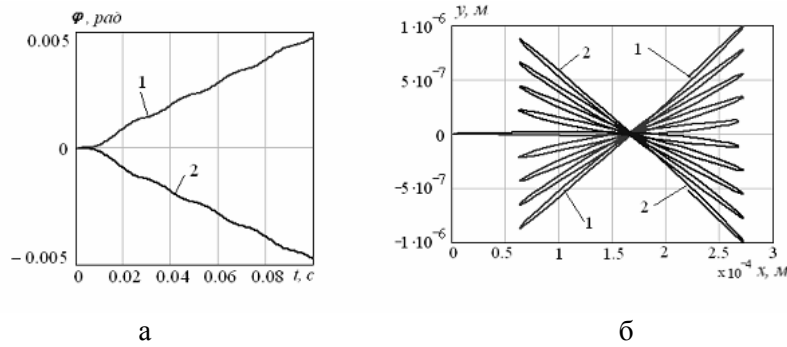
$$M_o = \sum_{i=1}^4 [-\mu_{x0i} d_i (\dot{x} \cos \varphi + \dot{y} \sin \varphi - \dot{\varphi}d_i) + \mu_{y0} k_i (\dot{x} \sin \varphi - \dot{y} \cos \varphi - \dot{\varphi}k_i)] \quad (11)$$

**Исследование характера движения робота.** Результаты численного моделирования позволяют выявить характер перемещения объекта в зависимости от параметров модели силы вязкого сопротивления, обусловленной положением опорных элементов, а также параметров закона движения внутренних масс. Установлено, что при синфазном движении внутренних масс и одинаковой ориентации опор  $\gamma = \gamma_i$  относительно вертикали объект совершает колебательные движения вдоль оси, совпадающей с продольной осью корпуса, при симметричной модели силы вязкого трения, или перемещается вдоль той же оси в сторону меньшего коэффициента вязкости при асимметричной силе сопротивления (рис. 4).

При том же законе колебаний внутренних масс и разных углах наклона опорных элементов корпус робота поворачивается относительно его центра масс, который совершает колебания вдоль двух осей абсолютной системы координат (рис. 5).



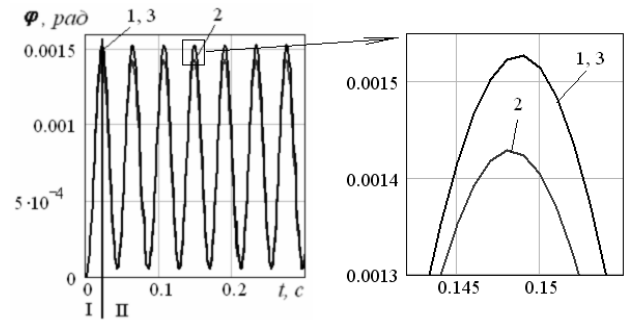
**Рис. 4.** Графики движения робота при синфазном перемещении внутренних масс: 1 –  $\gamma = 45^\circ$ , 2 –  $\gamma = 90^\circ$ , 3 –  $\gamma = 135^\circ$ , I – переходный режим, II – установившийся режим



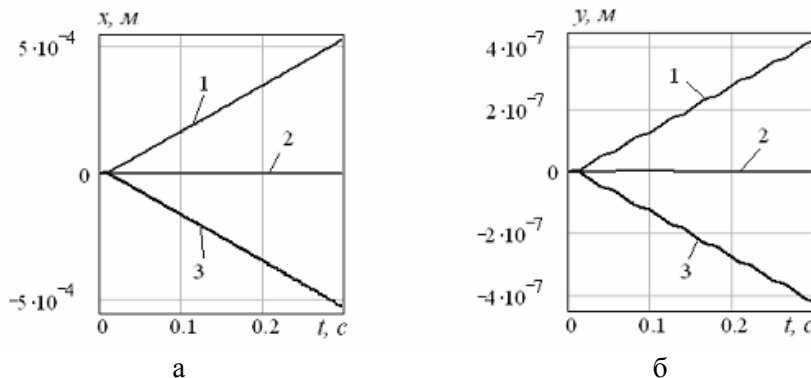
**Рис. 5.** Графики: а –  $\varphi(t)$ , б –  $y(x)$  при синфазном перемещении внутренних масс:  
 1 –  $\gamma_{1,3}=135^\circ, \gamma_{2,4}=45^\circ$ , 2 –  $\gamma_{1,3}=45^\circ, \gamma_{2,4}=135^\circ$

При движении внутренних масс в противофазе и симметричной силе трения происходит перемещение устройства по одной обобщенной координате – углу поворота (рис. 6). Введение асимметричной силы сопротивления при  $\gamma=\gamma_i$  приводит к возбуждению движения по трем обобщенным координатам (рис. 6, 7).

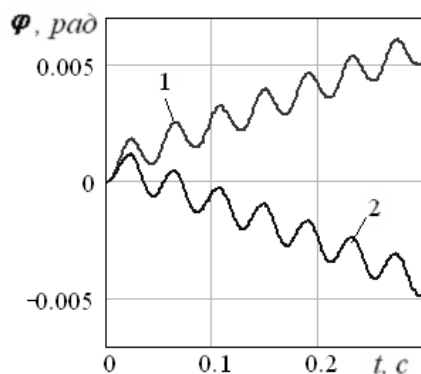
При разной ориентации опор и противофазных колебаниях внутренних масс робот совершает вращательное движение относительно неподвижного центра масс корпуса (рис. 8).



**Рис. 6.** Графики угла поворота корпуса робота при перемещении внутренних масс в противофазе: 1 –  $\gamma=45^\circ$ , 2 –  $\gamma=90^\circ$ , 3 –  $\gamma=135^\circ$ , I – переходный режим, II – установившийся режим



**Рис. 7.** Графики а –  $x(t)$ , б –  $y(t)$  при перемещении внутренних масс в противофазе:  
 1 –  $\gamma=45^\circ$ , 2 –  $\gamma=90^\circ$ , 3 –  $\gamma=135^\circ$



**Рис. 8.** Графики движения робота при перемещении внутренних масс в противофазе: 1 –  $\gamma_{1,3}=135^\circ, \gamma_{2,4}=45^\circ$ , 2 –  $\gamma_{1,3}=45^\circ, \gamma_{2,4}=135^\circ$

**Программно-управляемое движение робота.** По результатам исследования характера движения робота можно сделать вывод о том, что прямолинейное движение устройства с ненулевой средней скоростью происходит при синфазном движении внутренних масс при одинаковой ориентации опорных элементов  $\gamma=45^\circ, 135^\circ$ , поворот робота относительно неподвижного центра масс корпуса осуществляется при разных углах наклона опор  $\gamma_{1,3}=135^\circ, \gamma_{2,4}=45^\circ$  или  $\gamma_{1,3}=45^\circ, \gamma_{2,4}=135^\circ$ , если внутренние массы колеблются в противофазе. В соответствии с этим предложен алгоритм ступенчатого перемещения объекта, реализуемый путем

чередования участков прямолинейного и вращательного движений. Варьируя время прямолинейных участков и значения углов поворота

корпуса, можно реализовать движение робота по различным криволинейным траекториям (рис. 9).

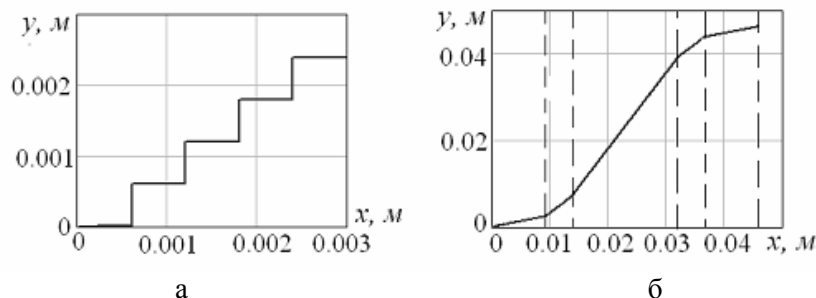


Рис. 9. Криволинейное движение виброробота: а – ступенчатое, б – по s-образной траектории

**Выводы:** в работе исследована динамика управляемого движения трехмассового мобильного робота, перемещающегося по горизонтальной плоскости в среде с вязким сопротивлением при движении двух внутренних масс. Установлено влияние модели силы вязкого сопротивления, ориентации опорных элементов и параметров законов колебаний внутренних масс на характер движения робота. Реализовано программно-управляемое движение устройства по криволинейной траектории, заключающееся в чередовании прямолинейного и вращательного перемещений корпуса за счет управления сдвигом фаз колебаний двух внутренних масс и углами наклона опорных элементов.

#### СПИСОК ЛИТЕРАТУРЫ:

1. Черноусько, Ф.Л. Оптимальные периодические движения двухмассовой системы в сопротивляющейся среде // ПММ. 2008. Т. 72, № 2. С. 202-215.
2. Черноусько, Ф.Л. О движении тела, содержащего подвижную внутреннюю массу // Докл. РАН. 2005. Т. 405, №1. С. 1-5.
3. Болотник, Н.Н. Динамика управляемых движений вибрационных систем / Н.Н. Болотник, И.М. Зейдис, К. Циммерман, С.Ф. Яцун // Известия РАН. Теория и системы управления. 2006. №5. С. 157-167.
4. Abaza, K. Ein Beitrag zur Anwendung der Theorie Undulatorischer Lokomotion auf mobile Roboter: Evaluierung theoretischer Ergebnisse an Prototypen // Universitäts-Verlag. Ilmenau. 2007. p. 126.
5. Vartholomeos, P. Analysis, Design and Control of a Planar Micro-robot Driven by Two Centripetal-Force Actuators / P. Vartholomeos, E. Papadopoulos // Proc. IEEE International Conference on Robotics and Automation (ICRA '06). May 2006. Orlando. FL. USA. P. 649-654.

## DYNAMICS OF OPERATED MOVEMENT OF THREE-MASS ROBOT ON A FLAT SURFACE

© 2011 S.F. Yatsun, V.N. Shevyakin, L.Yu. Volkova, V.V. Serebrovskiy

South-West State University, Kursk

The mathematical model of the mobile robot displaced on a curvilinear trajectory on a horizontal surface at the expense of movement of two internal masses and external force of a viscous friction is presented. Results of modeling the movement of an object are reduced.

Key words: *mobile three-mass robot, internal mass, force of viscous friction, orientation of basic elements*

Sergey Yatsun, Doctor of Technical Sciences, Professor, Head of the Theoretical Mechanics and Mechatronics Department. E-mail: teormeh@inbox.ru

Vitaliy Shevyakin, Doctor of Technical Sciences, Professor at the Theoretical Mechanics and Mechatronics Department

Lyudmila Volkova, Post-graduate Student

Badim Serebrovskiy, Doctor of Technical Sciences, Professor at the Biomedical Engineering Department